

## ОСОБЕННОСТИ ХОЛОДНЫХ ПРИДОННЫХ ИНТРУЗИЙ НА БАЙКАЛЕ ПО НАБЛЮДЕНИЯМ В 1993–2009 гг.<sup>1</sup>

© 2011 г. М. Н. Шимараев, А. А. Жданов, Р. Ю. Гнатовский, В. В. Блинов, В. Г. Иванов

Лимнологический институт Сибирского отделения Российской академии наук  
664033 Иркутск, ул. Улан-Баторская, 3

Поступила в редакцию 28.12.2009 г.

Рассмотрены особенности холодных придонных интрузий на Байкале по результатам наблюдений в 1993–2009 гг. Выяснено, что интрузионное обновление придонных вод происходит нерегулярно и не одновременно в разных котловинах. Его максимумы отмечены в Южном Байкале в 1997 и 2007, в Среднем – в 1995, 2006 и 2009, в Северном – в 1997 и 2009 гг. В эти годы объем холодного придонного слоя в отдельных котловинах достигал 200–470 км<sup>3</sup>, его суммарное охлаждение –20÷–60 МДж 10<sup>9</sup>. Холодные интрузии возникали чаще и оказывали более заметное воздействие на придонный слой в Южном Байкале по сравнению с другими частями озера. Показано, что интрузии, особенно в годы их активного развития, приводят к охлаждению вод как придонного слоя, так и основной части глубинной зоны всех котловин.

**Ключевые слова:** Байкал, глубинная конвекция, придонный слой, тепловой эффект интрузий, пространственные и временные особенности.

Изучение стратификации и развития конвекции в Байкале показало, что в условиях уменьшения температуры, максимальной плотности воды (давления) с ростом глубины весной и перед ледоставом в слоях верхней зоны возникает термобарическая неустойчивость, ведущая к интрузиям холодных вод в глубинные и придонные слои [4, 14]. Причиной неустойчивости могут быть атмосферные воздействия [14], уплотнение при смешении на фронте термобаров [12, 13], различия в минерализации [6], явления типа “чимни” [15] и апвеллинга [11]. Отмеченное ранее [3, 13] охлаждение глубинных слоев весной и летом объясняется интрузиями – одним из основных механизмов обновления глубинных вод Байкала и аэрации их кислородом. Проникающие до дна интрузии ведут к формированию придонного холодного слоя, характеристики которого содержат, в свою очередь, информацию о самих интрузиях.

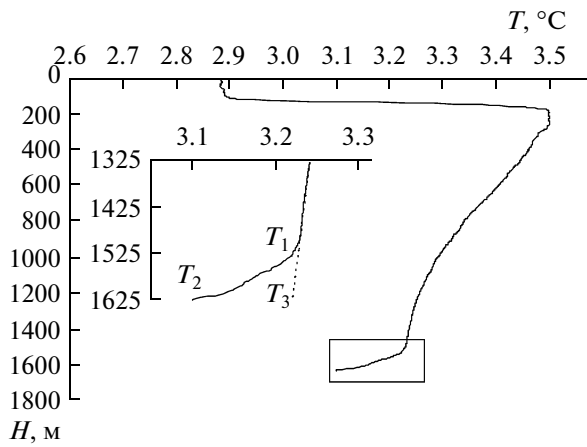
Изучение холодных интрузий как механизма обновления глубинных вод базируется, в основном, на результатах регистрации придонной температуры в двух пунктах измерений в Южном Байкале – в 1995–1997 гг. в его центре (1461 м), а с 2000 г. – в западной части в месте постановки нейтринного телескопа (НТ) (глубина 1352 м) [11, 15]. За время работ вторжение холодных вод отмечено в июне 1997 и 2000 гг., в декабре–январе 2002–2003, 2003–2004 гг.,

январе 2005, феврале 2006 и начале января 2007 гг. Аналогичные сведения для других частей Байкала отсутствуют. Ограничено число горизонтов измерений (в районе НТ в 2 и 50 м от дна) и локальность мест наблюдений не дают полного представления о размерах холодного придонного слоя и оставляют открытым вопрос о пространственных масштабах процесса. В рамках данной работы для изучения холодных интрузий впервые привлечены данные многолетних температурных съемок всего Байкала.

### МАТЕРИАЛЫ И МЕТОДИКА НАБЛЮДЕНИЙ

Использованы материалы разовых съемок Байкала в мае–сентябре 1993, 1995 и 1997–2009 гг. Съемки обычно выполнялись в сжатые сроки (6–12 сут) и включали зондирование температуры  $T$  до дна на станциях продольного разреза и пяти поперечных разрезов с общим числом станций до 18–30 в Южном, 10–11 в Среднем и 13–17 в Северном Байкале. Результаты измерений дают подробную информацию о распределении  $T$  в глубоководной части озера и позволяют выделить все случаи проникающих до дна интрузий. Их признаком считалось наличие придонного холодного слоя (ПХС), выделяющегося резким (до 8 раз) возрастанием вертикального градиента температуры  $\partial T/\partial z$  по сравнению с его значениями в вышележащих слоях глубинной зоны (рис. 1). Определялись высота  $h$  ПХС, перепад  $T$  от верхней к нижней границе слоя  $\Delta T$  и вертикальный градиент  $\partial T/\partial z$ , “фоновый” градиент  $\partial T/\partial z_{\text{фон}}$  в 200–400-м толще выше придонного слоя, который

<sup>1</sup> Работа выполнена при финансовой поддержке РФФИ (проект 09-05-00222-а) в рамках программы фундаментальных исследований Президиума РАН (проекты 20.10, 20.11), междисциплинарного интеграционного проекта СО РАН № 23.



**Рис. 1.** Холодный придонный слой в Среднем Байкале, 10 км от м. Ижимей, 20.06.2006 г. на глубине 1624 м.  $T_1$  – температура на верхней границе холодного придонного слоя (горизонт 1500 м),  $T_2$  – фактическая и  $T_3$  – гипотетическая температура воды у дна.

принимался за характерный для ненарушенного интрузиями распределения  $T$  в придонной зоне. Тепловой эффект холодных интрузий оценен по величине “дефицита” тепла  $\Delta Q_{(-)}$  в ПХС [7]. Он рассчитан как разность между фактическим запасом тепла этого слоя и его запасом, соответствующим “фоновому” распределению  $T$ . Конечная форма выражения для расчета  $\Delta Q_{(-)}$  имеет вид

$$\Delta Q_{(-)} = \rho c_p \times 0.5h(T_{\text{факт}} - T_{\text{гип}}),$$

где  $\rho$  и  $c_p$  – плотность и удельная теплоемкость воды,  $T_{\text{факт}}$  – фактическая, а  $T_{\text{гип}}$  – “гипотетическая” температура у дна, полученная линейной аппроксимацией “фонового” профиля температуры (рис. 1). По данным всех наблюдений определены характеристики ПХС, осредненные для каждой из проведенных съемок (табл. 1), позволяющие рассмотреть пространственные и временные особенности придонных интрузий в Байкале. При анализе полученных характеристик ПХС учитывалось, что они могут иметь заниженные значения, так как формирование этого слоя под действием интрузий могло происходить раньше времени проведения температурных съемок.

## ОБСУЖДЕНИЕ РЕЗУЛЬТАТОВ ИССЛЕДОВАНИЙ

Большое число случаев с ПХС (70% общего числа съемок) свидетельствует о частом (через 1–3 года) появлении холодных интрузий во всех частях озера и о сохранении ПХС с мая по август. По осредненным данным (табл. 2) заметна тенденция усиления ПХС к июлю, что возможно при развитии интрузий в течение большей части июня из-за позднего (в пелагии озера в конце июня–начале июля [3]) перехода к летней стратификации. К августу

$\Delta Q_{(-)}$  уменьшается в среднем в 5 раз, в то время как размеры слоя  $h$  снижаются только на 70%. В начале осени (сентябрь 1998–2001 гг., кроме 2000 г. в Южном Байкале) ПХС практически исчезает под действием обменных процессов.

Наблюдения обнаруживают как массовый, так и локальный характер интрузий в отдельные годы. В Южном Байкале в годы массовых интрузий (1997, 2000, 2003–2005, 2007, 2008 гг.) ПХС занимал основную часть котловины с глубинами >1100–1200 м. Его высота превышала 100 м (средняя 131, максимальная 270 м в 1997, 2007 гг.) при ее сравнительно однородном распределении в котловине. Большини были значения  $\Delta T$  (среднее  $-0.025^{\circ}\text{C}$ , в июле 2007 г. до  $-0.12^{\circ}\text{C}$ ) и “дефицита” тепла  $\Delta Q_{(-)}$  (среднее  $-7.2 \text{ МДж м}^{-2}$ , максимумы  $-11.9$  в июле 1997 г.,  $-23.7$  в  $\text{МДж м}^{-2}$  июле 2007 г.). Отметим, что почти все отмеченные случаи приходились на годы с заметным понижением  $T$  в пунктах ее регистрации у дна [11, 15]. В июне 1993, 2002 гг. ПХС был обнаружен лишь в центре котловины глубже 1400 м, а в мае 2006 и 2009 гг. – только к югу от дельты р. Селенги на глубине 1000 м (табл. 1). Небольшие средние значения величин  $h$  (51 м) и  $\Delta Q_{(-)}$  ( $-1.8 \text{ МДж м}^{-2}$ ) в эти годы указывают на малую активность интрузий, имевших, скорее всего, локальный характер.

В Среднем Байкале почти все случаи интрузий отмечены в области с глубинами >1500 м, в отдельные годы >1300 м. По сравнению с Южным Байкалом высота ПХС меньше (средняя 85 м, максимум 200 м в июле 2007 г.), перепад  $\Delta T$  больше (средний  $-0.045^{\circ}\text{C}$ , максимум  $-0.128^{\circ}\text{C}$  в июне 2006 г.), а величина  $\Delta Q_{(-)}$  ( $-7.2 \text{ МДж м}^{-2}$ ) совпадает по значению. Максимумы  $\Delta Q_{(-)}$  ( $-12.2 \div -12.7 \text{ МДж м}^{-2}$ ) приходились на май 1995, июнь 2006 и май 2009 гг.

В Северном Байкале интрузии наблюдались обычно в области глубин >850 м, в некоторые годы (2004, 2006, 2009 гг.) – во всей его центральной части глубже 750 м. Средняя величина  $h = 84$  м (максимум 289 м в июне 1997 г.),  $\Delta T = -0.038^{\circ}\text{C}$  (в июне 1993  $-0.1^{\circ}\text{C}$ ). Средняя величина  $\Delta Q_{(-)} = -4.2$  (в июле 1997 г.  $-11.4 \text{ МДж м}^{-2}$ ) была меньше, чем в других частях озера. При локальных интрузиях в 1993 и 2007 гг. слой  $h$  (~40 м) был значительно меньше, а величина  $\Delta Q_{(-)}$  близка к средним значениям.

Из сравнения средних и максимальных значений  $\Delta Q_{(-)}$  в разных котловинах можно заключить, что в целом за период более сильное охлаждение придонного слоя интрузиями происходило в Южном Байкале.

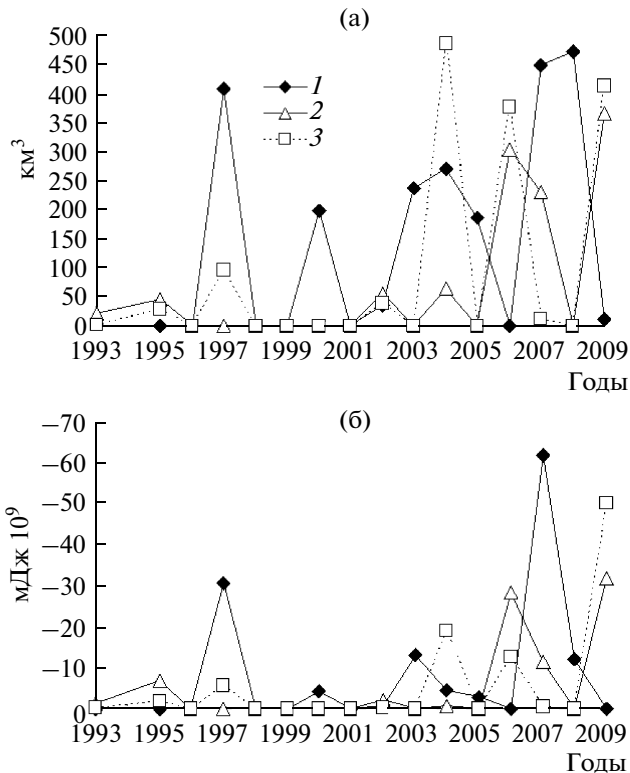
**Временные изменения.** В каждой из котловин интрузии проявлялись нерегулярно и характеризовались разной интенсивностью в отдельные годы. Годы с наличием ПХС чередовались с годами, когда этот слой встречался единично или отсутствовал. В разных котловинах обновление придонных вод интрузиями происходило не синхронно, что заметно по различиям значений  $\Delta Q_{(-)}$  и  $h$  в годы съемок, а

**Таблица 1.** Средние характеристики придонного холодного слоя в 1993–2009 гг. ( $\Delta Q_{(-)}$ , МДж м<sup>-2</sup>;  $H$  – глубина, м;  $h$  – высота придонного холодного слоя, м)

Дата съемки	Южный Байкал	Средний Байкал	Северный Байкал
1993 (24 мая–25 июня)	$H = 1431$ м (ст. 1) $h = 16$ м, $\Delta Q_{(-)} = -0.3$	$H > 1600$ м (ст. 2) $h = 40$ м $\Delta Q_{(-)} = -2.2$	$H = 900$ м (ст. 1) $h = 26$ м, $\Delta Q_{(-)} = -4.7$
1995 (22–28 мая)	Слой отсутствует	$H > 1600$ м (ст. 2) $h = 83$ м, $\Delta Q_{(-)} = -12.3$	$H > 880$ –900 м (ст. 3) $h = 45$ м, $\Delta Q_{(-)} = -2.9$
1997 (13–19 июля)	Вся котловина $H > 1255$ м (ст. 6) $h = 158$ м, $\Delta Q_{(-)} = -11.9$	Слой отсутствует	$H > 880$ –900 м (ст. 2) $h = 190$ м, $\Delta Q_{(-)} = -11.4$
1998 (сентябрь)	Слой отсутствует	Слой отсутствует	Слой отсутствует
1999 (сентябрь)	Слой отсутствует	То же	То же
2000 (6–18 сентября)	$H > 1300$ м (ст. 4) $h = 94$ м, $\Delta Q_{(-)} = -2.0$	$\gg$	$\gg$
2001 (сентябрь)	Слой отсутствует	Слой отсутствует	Слой отсутствует
2002 (11–16 июня)	$H > 1400$ м (ст. 2) $h = 27$ м, $\Delta Q_{(-)} = -1.0$	$H > 1600$ (ст. 2) $h = 69$ м, $\Delta Q_{(-)} = -2.8$	$H > 880$ –900 м (ст. 2) $h = 75$ м, $\Delta Q_{(-)} = -0.24$
2002 (21–30 августа)	$H > 1350$ м (ст. 2) $h = 70$ м, $\Delta Q_{(-)} = -1.8$	Слой отсутствует	Слой отсутствует
2003 (10–19 июля)	Вся котловина (ст. 4) $H > 1260$ м $h = 94$ м, $\Delta Q_{(-)} = -5.2$	Слой отсутствует	Слой отсутствует
2004 (13–23 августа)	Вся котловина (ст. 4) $H > 1260$ м $h = 108$ м, $\Delta Q_{(-)} = -1.8$	$H > 1600$ м (ст. 2) $h = 69$ м, $\Delta Q_{(-)} = -0.8$	Вся котловина $H > 750$ м (ст. 6) $h = 80$ м, $\Delta Q_{(-)} = -3.2$
2005 (26 июля–6 августа)	Вся котловина (ст. 6) $H > 1330$ м $h = 105$ м, $\Delta Q_{(-)} = -1.6$	Слой отсутствует	Слой отсутствует
2006 (9–23 июня)	$H = 982$ м (ст. 1) $h = 20$ м, $\Delta Q_{(-)} = -1.7$	$H > 1400$ м (ст. 3) $h = 79$ м, $\Delta Q_{(-)} = -12.7$	$H > 750$ м (ст. 4) $h = 62.5$ м, $\Delta Q_{(-)} = -2.1$
2007 (10–18 июля)	Вся котловина (ст. 5) $H > 1240$ м $h = 172$ м, $\Delta Q_{(-)} = -23.7$	$H > 1600$ м (ст. 5) $h = 148$ м, $\Delta Q_{(-)} = -7.3$	$H > 850$ м (ст. 1) $h = 56$ м, $\Delta Q_{(-)} = -2.7$
2008 (29 мая – 5 июня)	Вся котловина (ст. 5) $H > 1260$ м $h = 188$ м, $\Delta Q_{(-)} = -4.8$	Слой отсутствует	Слой отсутствует
2009 (26 мая–4 июня)	$H = 980$ м (ст. 1) $h = 80$ м, $\Delta Q_{(-)} = -4.3$	$H > 1560$ м (ст. 5) $h = 83$ м, $\Delta Q_{(-)} = -12.2$	$H > 850$ м (ст. 3) $h = 56$ м, $\Delta Q_{(-)} = -4.7$
2009 (10 –20 июля)	$H = 1414$ м (ст. 1) $h = 30$ м, $\Delta Q_{(-)} = -1.1$	$H > 1350$ м (ст. 5) $h = 139$ м, $\Delta Q_{(-)} = -8.5$	Вся котловина $H > 750$ м (ст. 5) $h = 97$ м, $\Delta Q_{(-)} = -8.4$

**Таблица 2.** Средние значения  $h$ , м, и  $\Delta Q_{(-)}$ , МДж м<sup>-2</sup>, в отдельные месяцы (в скобках – число съемок, по которым проведено осреднение величин  $h$  и  $\Delta Q_{(-)}$ )

Характеристика	Май	Июнь	Июль	Август	Сентябрь
Южный Байкал					
$h$	Нет наблюдений	62 (4)	132 (4)	89 (2)	94 (1)
$\Delta Q_{(-)}$	То же	–2	–10.6	–1.8	–2
Средний Байкал					
$h$	83 (1)	62 (3)	116 (2)	69 (1)	Нет
$\Delta Q_{(-)}$	–12.3	–5.9	–9.6	–0.8	Нет
Северный Байкал					
$h$	45 (1)	54 (3)	114 (3)	80 (1)	Нет
$\Delta Q_{(-)}$	–2.9	–2.3	–7.4	–3.2	Нет
Все котловины					
$h$	64 (2)	59 (10)	122 (9)	82 (4)	94 (1)
$\Delta Q_{(-)}$	–7.6	–3.3	–9.3	–1.9	–2



**Рис. 2.** Суммарные объемы (а) и величины “дефицита” тепла (б) холодного придонного слоя в разных котловинах Байкала. 1–3 – Южный, Средний и Северный Байкал соответственно.

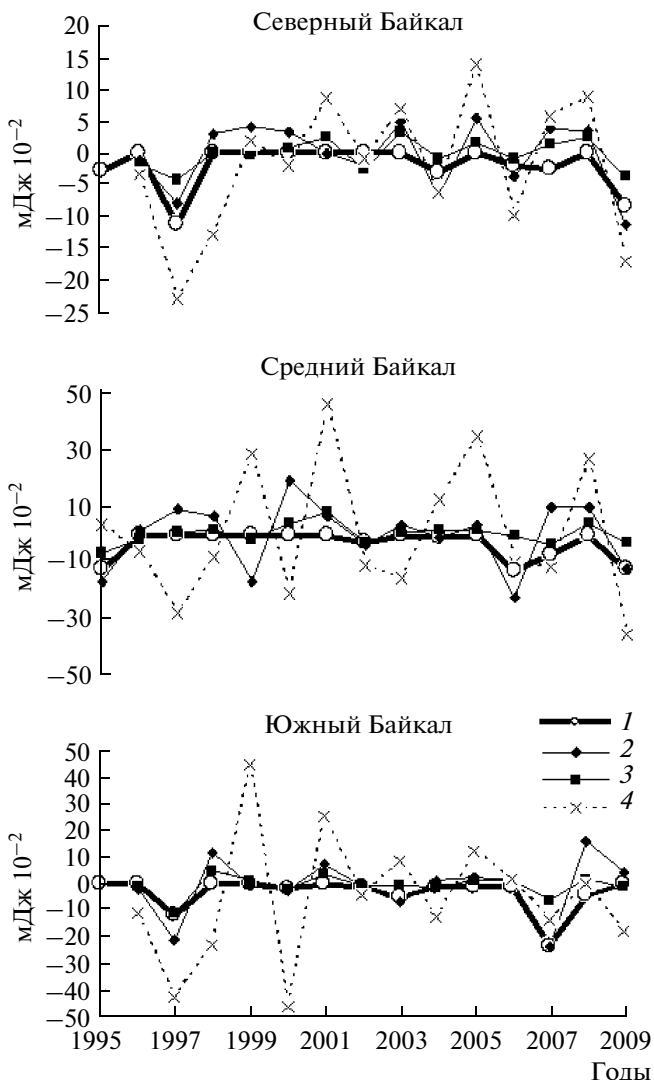
также по несовпадению лет с отсутствием интрузий (табл. 1). Так, в 1993 и 1995 гг., при явных признаках обновления придонных вод Среднего и Северного Байкала, в Южном Байкале этот процесс не происходил, что подтверждается и результатами анализа баланса массы изотопа  $^{3}\text{He}$  [9]. В июле 1997 г. активное обновление придонных вод наблюдалось только в Южном и Северном Байкале, а в 2000, 2003, 2005 и 2008 гг. ограничивалось только Южным Байкалом. Одновременное наличие ПХС на нескольких станциях каждой из котловин, указывающее на активность интрузий во всем озере, зафиксировано только в 2002 и 2004 гг. Ранее такой случай был отмечен в июле 1988 г. [14]. В целом за 1993–2009 гг. обновление придонных вод происходило чаще в Южном Байкале, где интрузии были отмечены в 11 годах, тогда как в остальных котловинах – в 7 годах из 15 лет наблюдений.

Отсутствие синхронности в межгодовой динамике холодного придонного слоя показывает, что условия развития глубинной конвекции в разных частях озера в отдельные годы не одинаковы, что связано с различиями ветрового режима, ледово-термических и динамических процессов в каждой из котловин. Так, позднее замерзание и раннее очищение ото льда в месяцы с сезонным обострением

ветровой активности (декабрь–январь, май) создает более благоприятные условия для глубинной конвекции в Южном Байкале, что приводит к ее более частому возникновению в этой части озера. На изменчивость интрузий в ряде случаев могут дополнительно влиять изменения речного стока и водообмена. В Среднем Байкале это могут быть колебания стока р. Селенги, воды которой, распространяясь весной вдоль восточного побережья, вызывают появление термобара и глубинной конвекции на его фронте [12], а зимой – опускание холодных вод от дельты реки в глубинную часть котловины [10]. С влиянием зимнего стока Селенги связано, скорее всего, и появление ПХС в июне 2006 и 2009 гг. в северной части Южного Байкала (район бухты Песчаной). В Северном Байкале определенную роль в межгодовой динамике холодных интрузий и характеристик ПХС может играть изменение его водообмена с водами Среднего Байкала [5, 10].

В качестве показателя активности интрузионного обновления всей придонной зоны котловин можно принять объем холодного придонного слоя  $W$ , оцениваемый для каждой из съемок как  $W = hS$ , где  $h$  – средняя толщина слоя,  $S$  – площадь сечения озера, соответствующая минимальной из глубин для станций котловины, на которых обнаружен холодный слой. Оценка  $S$  выполнена по кривым площадей, аппроксимированным полиномиальной кривой. Средняя за годы с интрузиями величина  $W$  в отдельных котловинах колеблется от 60 до 120  $\text{km}^3$ . В годы массового развития интрузий величина  $W$  достигала в Южном 470, в Среднем 360, и в Северном Байкале 460  $\text{km}^3$  (рис. 2а). Другой показатель воздействия интрузий – величина суммарного охлаждения придонной зоны котловин  $Q_{\Sigma}$ , которая определена из выражения  $Q_{\Sigma} = \Delta Q_{(-)} S$  (рис. 2б). Средняя за период величина  $Q_{\Sigma}$  составила  $-5 \pm 8 \text{ МДж } 10^9$  (коэффициент вариации 1.7–2.4). Ее максимальные значения в Южном Байкале в 1997 и 2007 гг. равны  $-30$  и  $-60 \text{ МДж } 10^9$ , в Среднем в 2006 и 2009 гг.  $-30 \text{ МДж } 10^9$ , а в Северном в 2004 и 2009 гг.  $-20$  и  $-45 \text{ МДж } 10^9$  соответственно. Очевидно, что средние значения  $W$  и  $Q_{\Sigma}$  занижены из-за того, что при их расчете использованы данные о  $h$  и  $\Delta Q_{(-)}$  для августа (в Южном Байкале и для сентября), когда холодный придонный слой уже значительно ослаблен. В то же время, максимальные значения  $W$  и  $Q_{\Sigma}$  близки к реальным, так как получены по наблюдениям, проведенным почти сразу после вторжений холодных вод. Используя отношение средних величин  $Q_{\Sigma}$  к площадям сечений на горизонтах 200 м от дна, можно сравнить роль интрузий в охлаждении придонных слоев котловин. Величина отношения для Южного Байкала превысила ее значения для Среднего в 1.3, а для Северного – в 3 раза, что указывает на влияние интрузий в на придонный слой южной котловины 1993–2009 гг.

Холодные интрузии оказывают влияние и на температурное состояние всей глубинной зоны. В



**Рис. 3.** Величины “дефицита” тепла  $Q_{(-)}$  1, приращений теплозапаса в слоях в 100 м 2 и 100–200 м от дна 3, в основном глубинном слое 4 в Северном (400–700), Среднем (600–1400) и Южном (600–1200 м) Байкале.

связи с этим рассмотрена связь “дефицита тепла” в ПХС и приращений теплозапаса отдельных слоев глубинной зоны за период от лета предыдущего до лета текущего года. Обе величины отражают влияние холодных интрузий в месяцы их развития (декабрь–январь и май–июнь) – приращения теплозапаса – на всю глубинную зону, а “дефицита тепла” – на придонный слой. Для анализа приняты теплозапасы в слоях 200–400 и 400–600 м от поверхности, в основном глубинном слое (600–1200 м в Южном, 600–1400 м в Среднем и 400–700 м в Северном Байкале) и в слоях 100 и 100–200 м от дна (рис. 3). В Южном и Среднем Байкале связь положительна и значима в слое 200 м от дна ( $r > 0.75–0.77, p < 0.05$ ) и положительна в основном глубинном слое ( $r = 0.25 \div 0.5, p = 0.05 \div 0.15$ ). В Северном Байкале

связь положительна и значима ( $r = 0.67 \div 0.86, p < 0.01 \div 0.001$ ) для всей водной толщи глубже 400 м. Охлаждающий эффект интрузий на водах основного глубинного слоя характерен для всех лет с максимальными значениями  $\Delta Q_{(-)}$  в придонном слое – в 1997, 2007 в Южном, в 2006, 2009 в Среднем и в 1997, 2006, 2009 гг. в Северном Байкале (рис. 3). Таким образом, наиболее значительные интрузии ведут не только к формированию холодного придонного слоя, но сопровождаются и охлаждением вод основного глубинного слоя. В большинстве лет с отсутствием ПХС баланс тепла в основном глубинном слое был положителен. Вместе с тем, в 1998, 2000, 2004, 2009 гг. в Южном, в 1997, 2000, 2003 гг. в Среднем и в 1998 г. в Северном Байкале он оказался отрицателен при отсутствии охлаждения придонного слоя. Очевидно, что в эти годы интрузии не достигали дна, а проникали до глубин <1200 м в Южном, <1400 в Среднем и <700 м в Северном Байкале. С учетом этих случаев можно говорить о том, что интрузионное обновление глубинных вод происходило в Южном Байкале на протяжении 12, в Среднем 10 и в Северном – 9 из всех 15 лет наблюдений.

## ВЫВОДЫ

Проведенный анализ распределения и изменения характеристик ПХС свидетельствует о разных масштабах и степени развития холодных интрузий в отдельные годы. Они могут иметь массовое распространение, ограничиваться локальными участками котловин или отсутствовать. Наиболее типичны случаи массовых интрузий с распространением холодного слоя на всю или значительную часть глубоководной области котловин. Заметим, что вызываемое ими охлаждение придонного слоя (в среднем на  $-4 \div -7$ , максимально на  $-11 \div -24 \text{ МДж м}^{-2}$ ) намного превосходит величину геотермического потока от дна ( $2 \div 3 \text{ МДж м}^{-2}$  в год [1]). В Северном Байкале влияние на температуру придонного слоя на локальном участке озера площадью  $3500 \text{ км}^2$  оказывает также разгрузка гидротермальных вод, которые из-за их повышенной минерализации (и плотности) могут приводить к появлению вблизи дна “теплого” придонного слоя [1, 2]. Оценка тепла по приведенным в [2] характеристикам этого слоя (толщина 20 м, нарастание температуры  $0.01 \div 0.025^\circ\text{C}$ ), накопленного в слое за счет гидротермальных вод, дает величину  $0.8 \div 2.1 \text{ МДж м}^{-2}$ , что также меньше средних и максимальных величин охлаждения придонного слоя при глубинной конвекции.

Интрузионное обновление придонных вод происходит не регулярно во времени и не одновременно в различных котловинах. Это свидетельствует о региональном проявлении механизмов, вызывающих этот процесс в условиях большой широтной протяженности озера и заметных различий климата, морфометрии и гидрологических особенностей

каждой из котловин. В 1993–2009 гг. обновление придонных вод наблюдалось чаще и происходило активнее в Южном Байкале, что объясняет факт понижения температуры придонных слоев воды в этой части озера, в то время как в Среднем и Северном Байкале ее тренд был положителен [8]. Совместное рассмотрение многолетних изменений “дефицита тепла” и теплозапаса водной толщи озера показывает, что интрузии, особенно в годы их активного развития, ведут к охлаждению не только придонного слоя, но и основной части глубинной зоны отдельных котловин ниже 600 м. Полученные результаты важны для понимания процессов массо- и теплопереноса в водной толще Байкала и могут быть использованы для оценок изменений в его экосистеме при наблюдаемых тенденциях изменений климата.

#### СПИСОК ЛИТЕРАТУРЫ

1. Голубев В.А. Геотермия Байкала. Новосибирск: Наука, 1982. 150 с.
2. Голубев В.А. Кондуктивный и конвективный вынос тепла в Байкальской рифтовой зоне. Автореф. дис. ... докт. геол.-мин. наук. Иркутск: Институт земной коры СО РАН, 2002. 35 с.
3. Шимараев М.Н. Элементы теплового режима озера Байкал. Новосибирск: Наука, 1977. 149 с.
4. Шимараев М.Н., Гранин Н.Г. К вопросу о стратификации и механизме конвекции в Байкале // Докл. АН СССР. 1991. Т. 321. № 2. С. 381–385.
5. Шимараев М.Н., Гранин Н.Г., Домышева В.М. и др. О межкотловинном водообмене в Байкале // Вод. ресурсы. 2003. Т. 30. № 6. С. 678–681.
6. Шимараев М.Н., Грачев М.А., Имбоден Д. и др. Международный гидрофизический эксперимент на Байкале: процессы обновления глубинных вод в весенний период // Докл. РАН. 1996. Т. 36. № 6. С. 824–827.
7. Шимараев М.Н., Жданов А.А., Гнатовский Р.Ю. и др. Холодные придонные интрузии на Байкале: пространственные масштабы явления по наблюдениям в 1993–2007 гг. // Потоки и Структуры в жидкостях – 2007. Избранные тексты докладов междунар. конф. М.: Ин-т проблем механики РАН, 2008. С. 264–269.
8. Шимараев М.Н., Троицкая Е.С., Гнатовский Р.Ю. Современные изменения климата и температура глубинных вод озера Байкал // Докл. РАН. 2009. Т. 426. № 5. С. 685–689.
9. Hohmann R., Hofer M., Kipfer R. et al. Distribution of helium and tritium in Lake Baikal // J. Geophys. Res. 1998. V. 103. № C6. P. 12823–12838.
10. Hohmann R., Kipfer R., Peeters F. et al. Processes of deep water renewal in Lake Baikal // Limnol. Oceanogr. 1997. V. 42. № 5. 841–855.
11. Schmid M., Budnev N.M., Granin N.G. et al. Lake Baikal deepwater renewal mystery solved // Geophys. Res. Letters. 2008. V. 35. № L09605. P. 1–5.
12. Shimaraev M.N., Granin N.G., Zhdanov A.A. Deep ventilation of Lake Baikal waters due to spring thermal bars // Limnol. Oceanogr. 1993. V. 38. № 5. P. 1068–1072.
13. Shimaraev M.N., Verbolov V.I., Granin N.G., Sherstyankin P.P. Physical limnology of Lake Baikal: a review. Irkutsk; Okayama: Baikal Intern. Center for Ecolog. Res., 1994. Print № 2. 80 p.
14. Weiss R.F., Carmack E.C., Koropalov V.M. Deep-water renewal and biological production in Lake Baikal // Nature. 1991. V. 349. № 6311. P. 665–669.
15. Wuest A., Rawens T.M., Granin N.G. et al. Cold intrusion in Lake Baikal: direct observational evidence for deep-water renewal // Limnol. Oceanogr. 2005. V. 50. № 1. P. 184–196.